

中国共同富裕水平的测度、动态演进和地区差异分析

王佳欣

(西安财经大学统计学院, 西安 710100)

摘要: 基于公平与效率维度构建指标体系,运用熵值法测度2011—2021年中国省域共同富裕水平,分析其空间自相关性,并通过核密度估计方法刻画其分布动态,采用Dagum基尼系数分析其空间差异。研究发现,全国及四大地区的共同富裕水平均显著提升,西部增幅最大;考察期内全国空间集聚效应显著;东部地区共同富裕发展不均衡问题最凸显;地区间差异呈缩小态势,但仍是总体差异的主要来源。

关键词: 共同富裕; 分布动态; 空间差异; Dagum基尼系数

中图分类号: F222.34 **文献标志码:** A **文章编号:** 1671-1807(2024)10-0047-07

共同富裕是中国特色社会主义的本质要求,是中国式现代化的鲜明特征^[1]。习近平总书记在中央财经委员会第十次会议指出,要坚持以人民为中心的发展思想,在高质量发展中促进共同富裕,正确处理效率和公平的关系^[2],这为相关研究指明了方向。中国在改革发展中不断取得新的辉煌成就,人民生活水平日益提升,然而,在居民收入差距、公共服务均等化、精神文明建设等方面仍面临巨大挑战^[3]。那么,在各地区发展不平衡不充分的现实背景下,共同富裕水平存在何种演变趋势? 差异来源于哪些方面? 对上述问题展开细致研究,对于整体把握中国共同富裕发展状况和统筹提升各地区人民富裕水平具有重大的现实意义^[4]。

1 文献综述

关于共同富裕的内涵,学术界的研究由来已久,其内涵也随着时代的进程不断丰富^[5]。20世纪90年代开始至今,学者对于共同富裕的内涵界定从物质层面的富裕演进为物质和精神的双重富裕,不断把人民群众的精神获得感放在了更高的位置^[6]。在此基础上,国内学者对实现共同富裕的路径进行探索。李海舰和杜爽^[7]强调物质富裕和精神富裕的协同发展、彼此嵌入,把“精神”变成“物质”,让“物质”升华“精神”,实现精神富裕和物质富裕的统一。燕连福和王亚丽^[8]认为实现人民“仓廩实衣食足”的物质富裕和人人“知礼节明荣辱”的精神富裕,是实现人的全面发展和社会文明进步的根本要求。

关于共同富裕的测度,已有文献大致分为两种:第一,建立统计指标体系,计算综合得分^[9]。如李金昌和余卫^[10]紧扣富裕、共享和可持续三个方面,构建一个过程指标与结果指标相互结合的共同富裕评价指标体系。第二,构建测算公式,据此对共同富裕水平进行测算。例如,席恒等^[11]运用几何合力计算方法,构建了“共同富裕指数”,即不同群体富裕维度和共同维度叠加形成均衡状态的程度,以客观评价不同群体——包括区域、城乡、行业等——共同富裕实现的基本状况。

现有研究虽然成果颇多,但仍有拓展之处,本文的边际贡献在于:第一,在构建共同富裕指标体系时,受共享发展指标体系相关研究的启发,丰富了共同度和富裕度的内设指标,并运用熵值法对共同富裕水平进行客观赋权测度,继而利用时间序列数据和莫兰指数进行了初步分析。第二,在研究对象上,考虑我国地区间差异客观存在,因此将全国分为四大地区,通过核密度估计研究全国及四大地区的动态演进规律,进一步运用基尼系数分解共同富裕水平的地区差异^[12]。最后,得出结论和启示,为把握中国共同富裕发展状况、探索协同提升路径提供支持。

2 研究设计

2.1 共同富裕指标体系构建

共同富裕需要处理好财富的创造和分配问题,也就是效率与公平的关系^[13]。从共同富裕的基本

收稿日期: 2024-01-29

基金项目: 2023年西安财经大学研究生创新基金(23YC016)

作者简介: 王佳欣(2000—),女,河南新乡人,硕士研究生,研究方向为经济统计。

内涵出发,共同度代表公平,富裕度代表效率,在这两个维度之上进行评价指标体系的构建(表 1)。

(1)共同度。虽然中国在共同富裕建设上取得了举世瞩目的伟大成就,但是从经济、文化、社会和生态四个角度来看,人们的享用水平差距仍然较大。因此,在经济共享方面,选取农村居民可支配收入占城镇居民可支配收入之比来衡量城乡差距^[14],用转移净收入占可支配收入的比率衡量低收入群体的保障水平,城镇人口占比衡量城镇化水平;文化共享方面,从文化、体育、传媒方面衡量区域发展水平差距,选取的指标有文化体育与传媒支出、人均拥有公共图书馆藏量^[15]。社会共享方面,考虑教育、就业、医疗、养老这几个方面,选取相关 7 个指标。生态共享方面,选取人均水资源、人均公

园绿地面积、燃气普及率衡量区域生态资源利用水平差距。

(2)富裕度。从物质富裕、精神富足、生态美丽三个方面来综合反映人民富裕水平。在物质富裕方面,用生产总值代表一个地区的财富水平;用恩格尔系数衡量一个地区人民生活水平;用城乡储蓄存款余额衡量居民的储蓄和投资空间;私人汽车拥有量代表人们的出行需求和质量。在精神富足方面,选取教育文化娱乐支出占居民消费支出比例、居民平均受教育年限、粗离婚率为指标,这三方面能简明地描绘出人们在精神上的满足水平。在生态美丽方面,用单位 GDP 用电量和森林覆盖率、空气质量良好以上天数占比、城市污水处理率来衡量生态美丽水平。

2.2 研究方法

2.2.1 熵值法

作为一种客观赋权方法,熵值法能够实现多个评价准则之间的平衡,从而增强评价过程的科学性。所用数据主要来源于《中国统计年鉴》《中国区域经济统计年鉴》《中国城市统计年鉴》以及国家统计局,部分缺失数据通过 EPS 全球数据统计平台补齐,个别缺失数据采用线性插值法进行完善,能够较好地满足熵值法对数据客观性的要求。

2.2.2 莫兰指数

莫兰指数是用来度量空间相关性的一个重要指标^[16]。全局莫兰指数可以分析整体上是否存在空间相关性,如果全局莫兰指数呈现显著性,即全局有自相关出现,就可以利用局部莫兰指数进一步进行聚类 and 异常值分析。

2.2.3 核密度估计

核密度估计方法对模型的依赖性较弱,无须对数据的分布类型做任何假设,是研究非均衡分布常用的非参数估计方法^[17]。常用的核函数有三角核函数、四角核函数、高斯核函数等形式,选择高斯核函数对中国省域共同富裕水平的分布动态进行估计。

2.2.4 Dagum 基尼系数及分解

采用 Dagum 基尼系数及其分解方法考察中国省域共同富裕水平的相对差异。与泰尔指数和传统基尼系数相比,Dagum 提出的基尼系数测算方法能够将总体差异分解为地区内差异、地区间差异和超变密度^[18],从而更好地揭示空间差异的来源。

3 共同富裕水平综合评价结果分析

参照国家统计局的划分方法,将全国 31 个省份

表 1 共同富裕水平评价指标体系

一级指标	二级指标	三级指标	指标方向
共同度	经济共享	农村居民可支配收入占城镇居民可支配收入的比例/%	正向
		转移净收入占可支配收入的比例/%	正向
		城镇人口占比/%	正向
	文化共享	人均享有文化体育与传媒公共支出/(万元·人 ⁻¹)	正向
		人均拥有公共图书馆藏量/(册·人 ⁻¹)	正向
	社会共享	中学师生比/%	负向
		小学师生比/%	负向
		基本医疗保险参保率/%	正向
		千人医疗卫生机构床位数/(床·千人 ⁻¹)	正向
		养老保险参保率/%	正向
		失业保险参保率/%	正向
		每万人口社会组织单位数/个	正向
	生态共享	人均公园绿地面积/(m ² ·人 ⁻¹)	正向
		燃气普及率/%	正向
	物质富裕	私人汽车拥有率/%	正向
人均城乡储蓄存款余额/(万元·人 ⁻¹)		正向	
恩格尔系数/%		负向	
人均生产总值/(万元·人 ⁻¹)		正向	
教育文化娱乐支出占居民消费支出比例/%		正向	
精神富足	居民平均受教育年限/年	正向	
	粗离婚率/%	负向	
	单位 GDP 用电量/(万元·kWh ⁻¹)	负向	
生态美丽	森林覆盖率/%	正向	
	空气质量良好以上天数占比/%	正向	
	城市污水处理率/%	正向	

(因数据缺失,未包括港澳台地区)划分为东部、中部、西部、东北四大地区^[19]。

如图 1 所示,全国总体和四大地区的共同富裕水平都呈逐年上升趋势,其中东部地区的共同富裕水平远超其他三个地区,并且始终高于全国总体共同富裕水平;西部和中部始终低于全国总体共同富裕水平,虽然西部地区发展较为落后,但是其增幅最大;东北地区在样本期初期高于全国总体共同富裕水平,但在随后的几年较其他地区发展缓慢,低于全国总体水平。从样本期各阶段来看,图 1 中四条折线在 2016—2017 年最陡峭,表明全国和四个地区的共同富裕水平在 2016—2017 年增幅最大。

由邻接矩阵和各地区共同富裕发展水平计算的全局莫兰指数结果如表 2 所示。

由表 2 可知,2011—2021 年莫兰指数均大于 0,表明地区间共同富裕发展水平呈现空间正相关。莫兰指数先增后减,在 2019 年最小,为 0.142,说明空间集聚效应呈现下降趋势,地区间的共同富裕发展水平逐步拉开差距;在 2019 年之后又迅速追赶至 0.253,说明 2019 年之后空间集聚效应呈现上升趋势,地区间的共同富裕发展相互依存度升高。2011—2021 年的 P 都小于 0.05 且 Z 都大于 1.96,

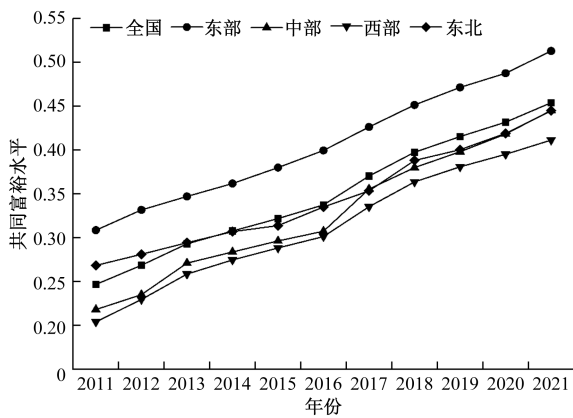


图 1 全国及四大地区 2011—2021 年共同富裕水平时序

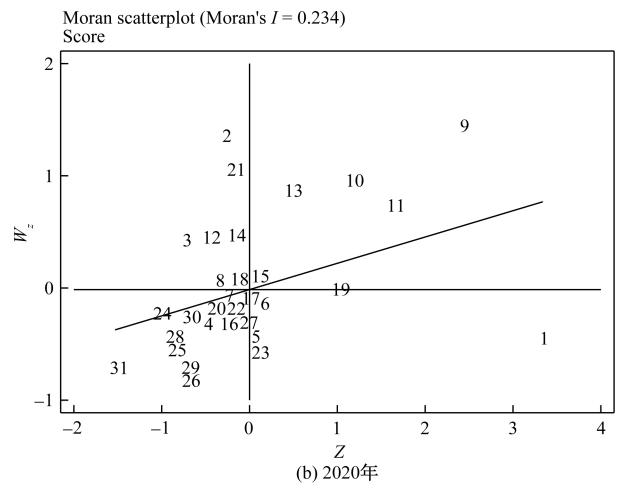
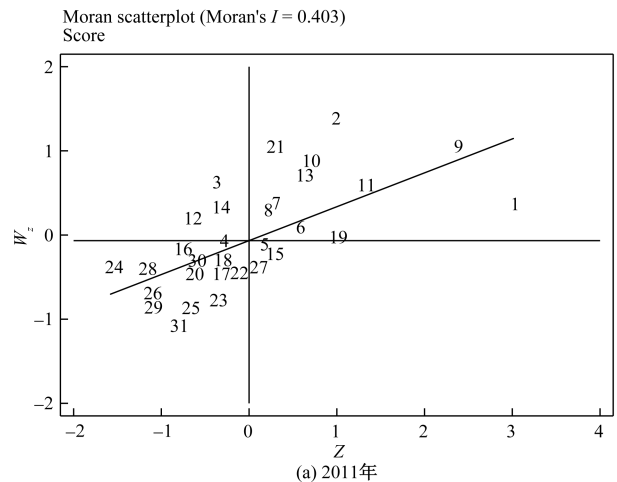
表 2 2011—2021 年中国共同富裕水平的 Moran's I 指数

年份	Moran's I	P
2011	0.300	0.001
2012	0.247	0.003
2013	0.225	0.007
2014	0.197	0.014
2015	0.175	0.024
2016	0.206	0.012
2017	0.150	0.040
2018	0.154	0.032
2019	0.142	0.041
2020	0.188	0.015
2021	0.253	0.003

通过了 95% 的显著性水平检验,说明 2011—2021 年地区间共同富裕发展水平存在高度的空间正相关性,空间集聚效应明显。

全局莫兰指数说明地区间整体上呈现空间集聚效应,对于不同地区的溢出效应还不得而知,因此接下来检验局部莫兰指数是否显著^[20]。得到了 2011—2021 年每年的局部莫兰指数,为节省篇幅,选取代表年份,对 2011 年、2020 年各省份共同富裕发展水平局部莫兰指数结果(图 2)进行分析。

在局部莫兰指数检验中,大部分地区的共同富裕发展水平都存在空间正相关。2011—2021 年上海、江苏、浙江、福建一直呈现高-高(H-H)集聚模式;安徽、江西呈现低-高(L-H)集聚模式;山西、内蒙古、吉林、黑龙江、河南、湖北、重庆、贵州、云南、陕西、甘肃、青海、宁夏、新疆呈现低-低(L-L)集聚模式;北京逐渐从莫兰散点图的第一象限下移至第四象限,表明北京由高-高(H-H)集聚模式转向高-低(H-L)集聚模式。



数字 1~31 分别代表 31 个省份

图 2 共同富裕水平局部莫兰散点图

4 共同富裕水平动态演进分析

为探讨全国以及四大地区共同富裕水平的动态演进特征,使用核密度估计方法从分布位置、分布形态、分布延展性以及极化趋势四个方面^[21]对共同富裕水平的核密度曲线进行分析,具体变化趋势如图3所示。

4.1 分布位置

从分布曲线的位置变化结果看,全国总体和四大地区的分布曲线均呈明显右移趋势,表明中国省域共同富裕水平整体显著提升。从分布位置的阶

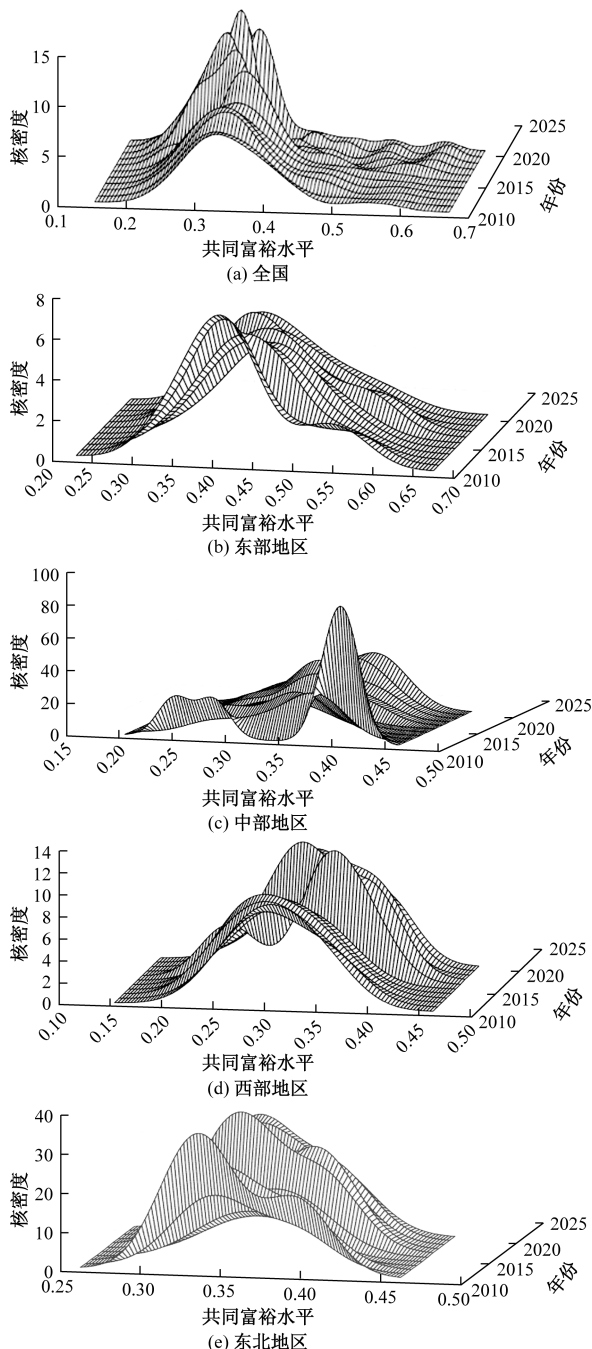


图3 全国及四大地区共同富裕发展动态

段性特征来看,分布曲线在2011—2021年逐年右移,且在2016—2017年有明显的右移,这一结果与图1相契合,即共同富裕水平明显提升。

4.2 分布形态

从分布曲线的主峰形态看,全国总体及中部、西部、东北地区共同富裕水平的内部绝对差异均呈缩小态势,东部地区的差异变化不明显。具体地,总体及中部、西部、东北地区的主峰形态均表现为高度上升和宽度减小,这意味着全国总体及中部、西部、东北地区省域共同富裕水平的离散程度趋于缩小;东部地区的主峰峰值虽然有所降低但宽度变化不明显,表明东部内部共同富裕水平的绝对差异未发生明显变化。

4.3 分布延展性

从分布曲线的延展性看,全国总体和东部地区均出现右拖尾特征,这一现象2011—2021年始终存在,表明全国总体和东部地区在不同时期均存在共同富裕水平较高的省域。但是,总体和东部地区的右拖尾现象随着主峰右移得到明显改善,表明随着所有省域共同富裕水平的全面提高,全国总体和东部地区内部省域的共同富裕水平与地区平均水平的差距均趋于缩小。中部地区出现左拖尾特征,表明中部地区在样本期存在共同富裕水平较低的省域,如安徽在样本期内的9年里,都是中部地区中共同富裕发展水平最低的省域。西部和东北不存在明显的拖尾特征,表明西部和东北地区的内部差异较小。

4.4 极化趋势

从分布曲线的极化趋势看,全国总体的分布曲线在2019年、2020年出现少量侧峰,侧峰的峰值较低且都出现在分布曲线右侧,表明2019年、2020年存在少数抵抗全球疫情风险能力较强的省域,其共同富裕水平较高;东部地区的共同富裕发展均不存在明显的两极分化或多极分化现象;中部地区在样本期初期存在显著的多极分化,但随时间推移变为单峰;西部和东北地区虽然出现了两极分化,但主峰和侧峰的峰值较高、宽度较小、两峰落差甚小,且主峰与侧峰趋于合并,表明西部和东北地区的内部差异逐渐减小。

5 共同富裕水平地区差异分析

5.1 全国和地区内差异

全国总体和四大地区共同富裕水平的基尼系数都呈明显下降趋势,表明共同富裕水平的空间分异状况有所改善。由表3可知,2011—2021年,总

表3 2011—2021年全国及四大区域共同富裕水平的基尼系数及贡献率

年份	G	G_w				G_{nb}						$G_z/\%$		
		东部	中部	西部	东北	东-中	东-西	东-东北	中-西	中-东北	西-东北	区域内	区域间	超变密度
2011	0.131	0.104	0.019	0.028	0.086	0.090	0.173	0.206	0.103	0.136	0.071	19.278	75.375	5.347
2012	0.126	0.107	0.029	0.031	0.090	0.102	0.173	0.187	0.089	0.108	0.072	21.213	69.653	9.134
2013	0.102	0.095	0.021	0.026	0.078	0.099	0.130	0.154	0.042	0.078	0.062	22.567	67.199	10.234
2014	0.098	0.096	0.033	0.029	0.069	0.101	0.129	0.146	0.045	0.072	0.056	22.692	65.589	11.719
2015	0.100	0.097	0.038	0.029	0.067	0.114	0.135	0.149	0.043	0.066	0.055	22.315	64.057	13.627
2016	0.098	0.091	0.024	0.034	0.068	0.099	0.133	0.146	0.048	0.067	0.057	22.217	67.328	10.455
2017	0.088	0.093	0.041	0.013	0.061	0.107	0.106	0.130	0.033	0.057	0.045	24.047	62.457	13.497
2018	0.074	0.092	0.017	0.020	0.040	0.088	0.096	0.115	0.022	0.041	0.038	23.387	66.734	9.879
2019	0.074	0.098	0.012	0.015	0.041	0.094	0.097	0.116	0.015	0.037	0.036	23.952	65.195	10.853
2020	0.070	0.089	0.012	0.012	0.041	0.085	0.086	0.110	0.013	0.038	0.038	23.640	68.219	8.141
2021	0.071	0.081	0.013	0.012	0.048	0.078	0.078	0.114	0.014	0.047	0.047	23.158	70.577	6.265
均值	0.094	0.095	0.023	0.023	0.063	0.096	0.121	0.143	0.042	0.068	0.052	22.588	67.489	9.923

注:G、 G_w 、 G_{nb} 、 G_z 分别为总体基尼系数、地区内基尼系数、地区间基尼系数、贡献率^[23]。

体基尼系数以6.3%的年均下降率从0.131下降至0.071;西部地区基尼系数以8.7%的年均下降率从0.028下降至0.012,降幅最大,且样本期末期的基尼系数最小。表明各地区的共同富裕水平差距逐渐缩小,协调发展性不断增强,特别是西部地区共同富裕发展均衡性最好。东部地区共同富裕的基尼系数始终高于其他三个地区,表明东部地区10个省份之间的共同富裕发展不均衡问题最凸显,部分省份的经济发展和民生改善方面仍存在短板和不足。

5.2 地区间差异

各地区间共同富裕水平的基尼系数在大多数年份都呈逐年减小趋势,表明地区间的共同富裕的空间分异程度在不断减小。如图4所示,东部与东北地区间基尼系数在雷达图的最外圈,表示在整个样本考察期内,东部与东北地区之间的空间分异程度最大,其次是东部与西部、东部与中部,这是由于东部共同富裕水平远高于其他三个地区,地区间的差异较大。地区间差异缩小速度最快的是中部与西部,年均降幅达到22.3%,东部与中部之间的地区差异减小速度最缓,年均降幅为1.5%。

5.3 空间差异的来源

根据2011—2021年中国共同富裕水平的空间差异来源的贡献率计算结果,地区间贡献率始终高于地区内贡献率和超变密度贡献率之和,其均值达67.489%,说明地区间差异是中国省域共同富裕水平空间差异的主要来源。从演变过程

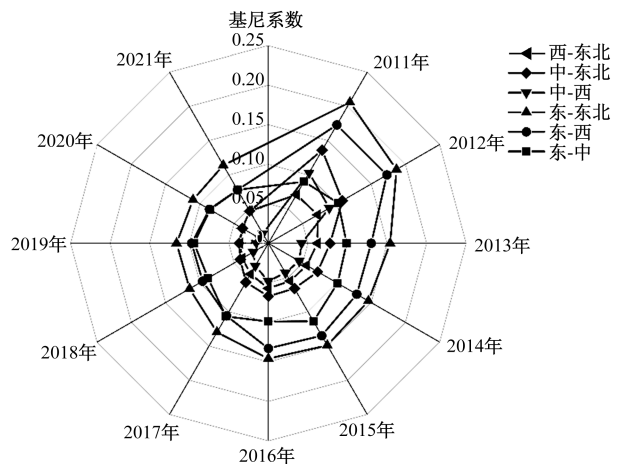


图4 地区间基尼系数

看,样本考察期内地区内贡献率先增后减,总体呈增大趋势;超变密度贡献率先增后减又增,总体呈增大趋势;地区间贡献率先减后增又减,总体呈减小趋势。

6 结论与建议

对2011—2021年各省份共同富裕水平进行测度,进而对共同富裕水平空间自相关性、动态演进特征、地区差异的来源展开分析。主要结论如下。

(1)从时间层面看,全国总体和四大地区的共同富裕水平都呈逐年上升趋势,其中西部地区增幅最大;东部地区的共同富裕水平远超其他三个地区;东北地区在样本期初期高于全国总体共同富裕水平,但在随后的几年较其他地区发展缓慢,低于全国总体水平;全国和四个地区的共同富裕水平在

2016—2017年增幅最大。

(2)全国总体和东部地区在不同时期均存在共同富裕水平较高的省域,但随着所有省域共同富裕水平的全面提高,二者内部省域间差距趋于缩小。中部地区在样本期存在共同富裕水平较低的省域,如安徽在样本期内的9年里,都是中部地区中共同富裕发展水平最低的省份。西部和东北地区的内部差异较小。

(3)从空间层面看,2011—2021年共同富裕发展水平存在高度的空间正相关性,空间集聚效应明显。在整个考察期内上海、江苏、浙江、福建一直都呈现高-高(H-H)集聚模式;安徽、江西呈现低-高(L-H)集聚模式;山西、内蒙古、吉林、黑龙江、河南、湖北、重庆、贵州、云南、陕西、甘肃、青海、宁夏、新疆呈现低-低(L-L)集聚模式;北京由高-高(H-H)集聚模式转向高-低(H-L)集聚模式。

(4)全国总体和四大地区共同富裕水平的空间分异状况有所改善,其中西部地区共同富裕发展均衡性最佳,东部地区不均衡问题最凸显。地区间差异缩小速度最快的是西部和中部。虽然样本考察期内地区间差异贡献率呈减小趋势,地区内贡献率和超变密度贡献率总体呈增大趋势,但地区间差异仍是共同富裕水平空间差异的主要来源。

通过实证分析,得出如下建议。

(1)有效发挥共同富裕的溢出效应。东部地区发达城市应在带动地区内部发展的同时,带动其他地区的经济文化各方面发展,特别是浙江,作为共同富裕示范区,不仅要展示自身强大优势,更要为全国共同富裕建设提供典范。各省份之间优势互补、协调发展,努力消除全国共同富裕水平差异。

(2)优化欠发达地区的公共服务水平和资源配置。共同富裕是全体人民的富裕,富裕成果的全民共享是解决新时代社会主要矛盾的重要突破点,着力缩小城乡区域发展差距,完善再分配制度,在效率与公平的平衡中推动共同富裕发展。

参考文献

- [1] 习近平. 高举中国特色社会主义伟大旗帜 为全面建设社会主义现代化国家而团结奋斗[N]. 人民日报, 2022-10-26(001).
- [2] 李实. 共同富裕的目标和实现路径选择[J]. 经济研究,

2021, 56(11): 4-13.

- [3] 张占斌. 中国式现代化的共同富裕: 内涵、理论与路径[J]. 当代世界与社会主义, 2021(6): 52-60.
- [4] 万海远, 陈基平. 共享发展的全球比较与共同富裕的中国路径[J]. 财政研究, 2021(9): 14-29.
- [5] 刘培林, 钱滔, 黄先海, 等. 共同富裕的内涵、实现路径与测度方法[J]. 管理世界, 2021, 37(8): 117-129.
- [6] 杨静, 魏依庆, 任振宇, 等. 新时代共同富裕的政治经济学研究[J]. 政治经济学评论, 2022, 13(2): 69-87.
- [7] 李海舰, 杜爽. 推进共同富裕若干问题探析[J]. 改革, 2021(12): 1-15.
- [8] 燕连福, 王亚丽. 全体人民共同富裕的核心内涵、基本遵循与发展路径[J]. 西安交通大学学报(社会科学版), 2022, 42(1): 1-9.
- [9] 韩亮亮, 彭伊, 孟庆娜. 数字普惠金融、创业活跃度与共同富裕——基于我国省面板数据的经验研究[J]. 软科学, 2023, 37(3): 18-24.
- [10] 李金昌, 余卫. 共同富裕统计监测评价探讨[J]. 统计研究, 2022, 39(2): 3-17.
- [11] 席恒, 王睿, 祝毅, 等. 共同富裕指数: 中国现状与推进路径[J]. 海南大学学报(人文社会科学版), 2022, 40(5): 45-57.
- [12] 韩建雨, 葛汉琪. 我国共同富裕水平测度、地区差异和动态演进[J]. 统计与决策, 2022, 38(23): 57-62.
- [13] 李建军, 韩珣. 普惠金融、收入分配和贫困减缓——推进效率和公平的政策框架选择[J]. 金融研究, 2019(3): 129-148.
- [14] 周鹏飞, 沈洋. 农业生产效率的测度及影响因素实证考察——基于2007—2020年重庆市面板数据[J]. 荆楚学刊, 2022, 23(5): 66-75.
- [15] 段新, 戴胜利, 廖凯诚. 绿色经济发展与政府绿色治理的协调效应及其动态关系[J]. 统计与决策, 2020, 36(15): 119-123.
- [16] 钱鹏岁, 孙姝. 数字普惠金融发展与贫困减缓——基于空间杜宾模型的实证研究[J]. 武汉金融, 2019(6): 39-46.
- [17] 曾文海, 王晨, 谯清, 等. 城市群包容性绿色增长测度、差异分解及收敛性研究——以长三角与珠三角城市群为例[J]. 金融教育研究, 2022, 35(1): 57-70.
- [18] 刘华军, 刘传明. 中国能源强度的地区差异及分布动态演进——基于DAGUM基尼系数分解和非参数估计的实证研究[J]. 山东财经大学学报, 2016, 28(5): 54-62.
- [19] 高斌, 段鑫星. 我国省域创新创业环境评价指标体系构建及测度[J]. 统计与决策, 2021, 37(12): 70-73.
- [20] 李顺毅, 张洪峰. 中国共同富裕推进能力的演化特征与空间关系[J]. 统计与信息论坛, 2024, 39(1): 103-117.
- [21] 仲崇阳, 马新啸, 郑国坚. 中国省域共同富裕水平的地区差异及驱动效应[J]. 经济地理, 2023, 43(8): 12-20.
- [22] 杨骞, 王珏, 李超, 等. 中国农业绿色全要素生产率的空间分异及其驱动因素[J]. 数量经济技术经济研究, 2019, 36(10): 21-37.

Measurement, Dynamic Evolution and Regional Differences of China's Common Prosperity Level

WANG Jiabin

(Xi'an University of Finance and Economics, Xi'an 710100, China)

Abstract: Based on the fairness and efficiency dimensions, the index system was constructed, and the entropy method was used to measure the level of common prosperity of China's provinces from 2011 to 2021, analyze its spatial autocorrelation, describe its distribution dynamics through the kernel density estimation method, and analyze its spatial differences using Dagum Gini coefficient. It is found that the level of common prosperity across the country and the four major regions has significantly improved, with the western region experiencing the largest increase. During the inspection period, the national spatial combined effect is significant. The problem of uneven development of common prosperity in the eastern region is most prominent. The regional differences are showing a narrowing trend, but they are still the main source of overall differences.

Keywords: common prosperity; distribution dynamics; spatial disparity; Dagum Gini coefficient